

I.B. Кірсанова, Р.Д. Апостолова

## ТЕМПЕРАТУРНІ ЕФЕКТИ В СИСТЕМІ $\text{Mo}_2\text{S}_3$ -ЕЛЕКТРОД/ЕЛЕКТРОЛІТ Li-АКУМУЛЯТОРА ЗА ДАНИМИ ІМПЕДАНСНОЇ СПЕКТРОСКОПІЇ

ДВНЗ «Український державний хіміко-технологічний університет», м. Дніпропетровськ

Проаналізована еволюція імпедансних спектрів із зміною температури електролітично одержаного на алюмінії сульфіду  $\text{Mo}_2\text{S}_3$ , розрядженого в літієвому акумуляторі з електролітом 1 M  $\text{LiClO}_4$ , пропіленкарбонат (ПК), диметоксістан (ДМЕ). Визначено зміну за температурою (273–332 K) складових параметрів еквівалентної електричної схеми годографів імпедансу досліджуваної системи: R (омічного опору), W (дифузійного імпедансу) та CPE (елемента постійної фази), які відображають параметри електродних процесів, пов’язаних з подоланням енергії перенесення зарядів та маси, а також з імпедансною поведінкою, викликаною фрактальністю поверхневої структури. Визначено, що забезпечення ефективного перетворення  $\text{Mo}_2\text{S}_3$  в літіевому акумуляторі з електролітом 1 M  $\text{LiClO}_4$ , ПК, ДМЕ може бути гарантовано при температурах 298–307 K.

**Ключові слова:**  $\text{Mo}_2\text{S}_3$ -електрод, літієвий акумулятор, імпедансні спектри, параметри CPE, W, R, електропровідність, перенесення зарядів, температура.

Молібден-сульфідні сполуки нанометрової шкали можуть знайти широке застосування в електродах перезаряджуваних літієвих хімічних джерел струму (ХДС) [1,2]. В їх ряду електролітично синтезовані тонкошарові сульфіди Mo [3].

Широкий спектр сульфідів молібдену, їх суміші з сульфідами кобальту або нікелю та оксидами молібдену одержано електролітично:  $\text{Mo}_2\text{S}_3$ ,  $\text{Mo}_3\text{S}_4$ ,  $\text{Mo}_3\text{S}_2$ ,  $\text{MoS}_2$ ,  $\text{Co}_x\text{S}_y$ ,  $\text{Ni}_x\text{S}_y$ ,  $\text{Mo}_x\text{O}_y$ . В електродах літієвого акумулятора вони показують кращі розрядні характеристики [4,5] ніж їх нанометрові аналоги, одержані за іншими методами. Тонкошарові сульфіди молібдену з масою активного матеріалу 1–20 мг· $\text{cm}^{-2}$  на металевій основі без домішок традиційних композитних електродів здатні протягом 50–170 циклів забезпечувати розрядну ємність 200–250 мА·год $^{-1}$  і являють собою готові електроди для тонкошарових літієвих акумуляторів.

На перетворення енергії в електродах включення в літієвих акумуляторах значно впливають кінетика електродних процесів, характеристики поверхні розділу фаз, об’ємна дифузія іонів літію та електронна провідність електродного матеріалу, ідентифікація яких необхідна для оптимізації електродів у реальному літіевому акумуляторі.

Сульфід  $\text{Mo}_2\text{S}_3$  як один із електролітично синтезованих сульфідів молібдену досліджено авторами в макетному літіевому акумуляторі. Значення важливого кінетичного параметра коефіцієнта дифузії іонів літію  $D_{\text{Li}}$ , отримані в про-

цесі інтеркаляції іонів літію в електролітично синтезований  $\text{Mo}_2\text{S}_3$  за методом релаксації потенціалу розімкненого ланцюга при виключенні струму, співпадають за порядком величини ( $10^{-11} \text{ см}^2 \cdot \text{s}^{-1}$ ) з даними, встановленими за методами циклічної вольтамперометрії та імпедансної спектроскопії [4,5]. Визначено також кінетичні параметри процесу інтеркаляції/деінтеркаляції іонів літію в  $\text{Mo}_2\text{S}_3$ : струму обміну  $i_0$ , константи швидкості перенесення зарядів через розділ електрод/електроліт  $K_s$ , константи масоперенесення  $K_g$  та енергії активації окремих стадій електродного процесу  $E_a$  [6]. В межах температури (273–332 K) струм обміну  $i_0$  змінюється від  $7,38 \cdot 10^{-5}$  до  $7,74 \cdot 10^{-4} \text{ A} \cdot \text{cm}^{-2}$ . Енергія активації в системі електрод  $\text{Mo}_2\text{S}_3/\text{ПК, ДМЕ, 1 M LiClO}_4$  на окремих стадіях електродного процесу має значення, кДж·моль $^{-1}$ : міграції іонів літію в електроліті – (13,7), перенесення зарядів через межу електрод/електроліт – (67,19) та дифузії в об’ємі електрода (57,3), які встановлено в розрядженному електроді при потенціалі у відсутності струму  $E_0 = 1,68$  В. За результатами аналізу Ареніусової залежності констант  $K_s$  та  $K_g$  витікає, що з підвищеннем температури (301–335 K) швидкість процесу дифузії зростає більшою мірою ніж швидкість процесу перенесення зарядів через межу електрод/електроліт [6]. При подальшому підвищенні температури електродний процес переходить в область змішаного контролю.

На даний час, коли зростає попит на мікро-

акумулятори для електронних мікропристроїв (смарткарт, мікросенсорів, мікrorоботів і ін.), мікроакумулятор на основі електролітично синтезованого сульфіду молібдену  $\text{Mo}_2\text{S}_3/\text{Li}$  є придатним для мікроспоживачів енергії, як спроможний забезпечити емність при кімнатній температурі в 1-му циклі 140, зворотну – 100  $\text{мА}\cdot\text{год}\cdot\text{мм}^{-1}\cdot\text{см}^{-2}$ . Температура є визначальним параметром розрядної ємності М-сульфідів в літієвому акумуляторі. При охолодженні та нагріванні розрядна ємність сульфіду  $\text{Mo}_2\text{S}_3$  в редокс-реакції з літієм знижується в порівнянні з такою при (298–303 К).

В даній роботі продовжено дослідження електролітично синтезованого сульфіду  $\text{Mo}_2\text{S}_3$  в редокс-реакції з літієм для визначення значення поверхні розділу фаз в перенесенні зарядів, дифузії іонів літію в об’ємі електрода, провідності електроліту та електродного матеріалу в електродному процесі в залежності від температури, встановленої за методом імпедансної спектроскопії.

#### Методика експерименту

Сульфіди молібдену синтезовано катодним відновленням водних розчинів молібдату натрію ( $0,08$ – $0,14$  моль $\cdot$ л $^{-1}$ ) з домішкою сульфату кобальту в присутності тіосульфату натрію ( $0,010$ – $0,012$  моль $\cdot$ л $^{-1}$ ) [3]. Стабільні умови електролізу досягаються при температурі електроліту  $85 \pm 3^\circ\text{C}$ ,  $i_k = 3,5$ – $4,5$   $\text{mA}\cdot\text{см}^{-2}$ ,  $S_{\text{K}}:S_{\text{a}} = 1:5$ ,  $\text{pH} = 5,0$ – $6,0$ . Синтезовані матеріали одержували у вигляді компактних осадів масою  $10$ – $13$   $\text{мг}\cdot\text{см}^{-2}$  на сітці з алюмінієвого сплаву (АМГ-6). Анодами були гладкі пластиини із технічного титану ВТ-1. Електролітичні осади піддавали тепловому впливу ( $180^\circ\text{C}$ , 7 год).

Фазовий склад синтезованих сполук досліджено рентгенофазовим аналізом на установці ДРОН-2.0 у монохроматичному випромінюванні  $\text{Co}-\text{K}_{\alpha}$  з використанням монокристалу  $\text{LiF}$ . Режим роботи установки: 35 кВ, 20 мА. Інтенсивність дифракційного відображення вимірювалася в інтервалі  $2\theta = 10$ – $80$  градусів.

Розрядні характеристики  $\text{Mo}_2\text{S}_3$  отримано при кімнатній температурі в макеті літієвого джерела струму з літіевим протиелектродом,  $\text{Li}/\text{Li}^+$ -електродом порівняння. Макет заповнювали рідинним електролітом складу 1M  $\text{LiClO}_4$  (Подібром, Україна), пропіленкарбонат (ПК, Ангарський завод хімреактивів), диметоксістан (ДМЕ, Merck,) в об’ємному співвідношенні 1:3.

Важливим фактором в отриманні імпедансних спектрів (ІС), які адекватно надають досліджувану систему, є вибір експериментальної комірки. В даній роботі імпедансні дослідження здійснено в чотириелектродному макеті тонкошарового літієвого акумулятора з безбаластовими симетричними досліджуваними електродами

ми [7].

Чотириелектродний макет зображене в розрізі на (рис. 1).

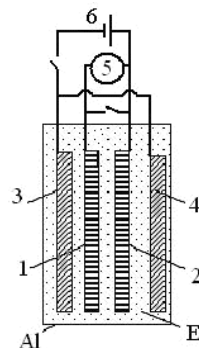


Рис. 1. Комірка для імпедансної спектроскопії:  
1, 2 – досліджувані електроди; 3, 4 – Li-електроди;  
E – електроліт; Al – корпус; 5 – вольтметр;  
6 – джерело постійного струму

Електроди (1,2,3,4) розташовано у пакеті з ламінованої алюмінієвої фолії (Al). Два однакові досліджувані електроди (1,2), геометрична площа кожного з яких становить  $1 \times 1 \text{ см}^2$ , розташовані паралельно один до одного. По обидва боки від них знаходяться допоміжні Li-електроди (3,4) розміром  $1 \times 1 \times 0,03 \text{ см}$ . Для поляризації електродів (1,2) використано джерело постійного струму (6) та літієві електроди (3,4). Застосування сітчастої тонкошарової алюмінієвої основи в досліджуваних електродах давало змогу однорідно поляризувати їх. Після виключення струму перед вимірюванням імпедансу системи тривала пауза, протягом якої досліджувана система врівноважувалася без струму. Електроди (1) та (2) під час паузи були коротко замкнені (15 год) для досягнення еквіпотенційності.

Імпеданс системи електрод (1)/1M  $\text{LiClO}_4$ , ПК, ДМЕ/електрод (2) вимірювали, використовуючи аналітичний радіометр VoltaLab PJZ 301 (5), при накладенні електричного сигналу амплітудою 10 мВ у частотному інтервалі 100 кГц– $6,3$  мГц в автоматичному режимі. Для реєстрації та аналізу спектрів використано програмами ZPlot, ZView (Version 2.1b).

#### Результати та їх обговорення

За даними рентгенофазового аналізу у складі досліджуваного тонкошарового електрода головним компонентом є сульфід молібдену  $\text{Mo}_2\text{S}_3$  моноклінної сінгонії (просторова група  $P2_1/m$  [81-2031]) з наявністю домішок сульфідів  $\text{Co}_4\text{S}_3$ ,  $\text{Co}_3\text{S}_4$ .

Розрядна крива (рис. 2) є електрохімічною характеристикою досліджуваного електрода.

Імпедансні характеристики вимірювали в залежності від температури з електродами, роз-

## Температурні ефекти в системі $\text{Mo}_2\text{S}_3$ -електрод/електроліт Li-акумулятора за даними імпедансної спектроскопії

рядженими в літієвому акумуляторі до 1,1 В. Потенціал електроду без струму ( $E_0$ ) стабілізується на значенні 1,32 В, і склад сульфіду молібдену відповідає хімічній формулі  $\text{Li}_x\text{Mo}_2\text{S}_3$ . Для аналізу годографу імпедансу досліджуваної системи підібрано еквівалентні електричні схеми та встановлено параметри елементів схеми при температурах 273, 298, 307, 319, 332 К.

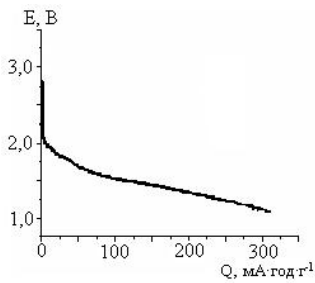


Рис. 2. Розрядна крива макетного акумулятора  $\text{Mo}_2\text{S}_3/\text{ПК}$ , ДМЕ, 1M  $\text{LiClO}_4/\text{Li}$ . Maca  $\text{Mo}_2\text{S}_3$ :  $m=13 \text{ mg}\cdot\text{cm}^{-2}$

На рис. 3 показано годограф імпедансу системи  $\text{Li}_x\text{Mo}_2\text{S}_3/\text{ПК}$ , ДМЕ, 1M  $\text{LiClO}_4/\text{Li}_x\text{Mo}_2\text{S}_3$  при  $T=307$  К, еквівалентна електрична схема годографу імпедансу системи та параметри схеми

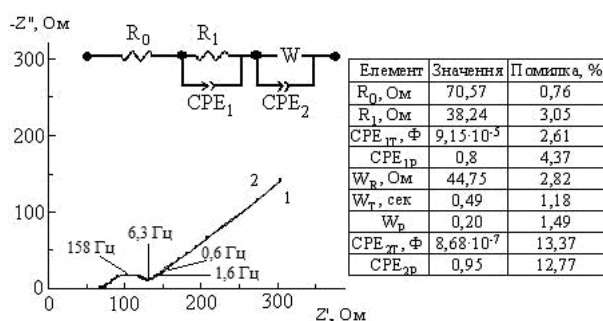


Рис. 3. Годограф імпедансу системи  $\text{Li}_x\text{Mo}_2\text{S}_3/\text{ПК}$ , ДМЕ, 1M  $\text{LiClO}_4/\text{Li}_x\text{Mo}_2\text{S}_3$  та параметри еквівалентної схеми.  $T=307$  К. Інтервал частот 100 кГц–6,3 мГц. 1 – експериментальна та 2 – аналогова криві

У годографі імпедансу системи налічуються дві складові: стиснуте півколо в високочастотній області та лінійний шлейф у низькочастотній області. Еволюція імпедансних спектрів за температурною зміною показана на рис. 4.

Імпеданс системи зростає з пониженням температури як в високочастотній ділянці півколо, так і в низькочастотній лінійній області.

Проведено аналіз залежності складових параметрів імпедансу від температури для електроду  $\text{Li}_x\text{Mo}_2\text{S}_3$  в контакті з електролітом ПК, ДМЕ, 1M  $\text{LiClO}_4$ : (R) – омічного опору, ( $\text{CPE}$ ) – елементу здвигу постійної фази, (W) – дифузійного імпедансу, виходячи з теоретичних ос-

нов імпедансної спектроскопії [8].

Елемент здвигу постійної фази СРЕ може відображати експоненційний розподіл параметрів електрохімічної реакції, пов’язаної з подоланням енергетичного бар’єру при перенесенні зарядів та маси, а також імпедансну поведінку, викликану фрактальністю поверхневої структури.

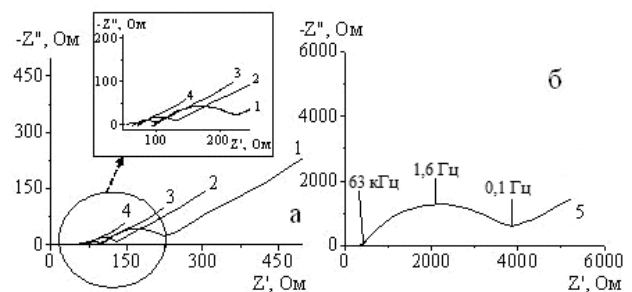


Рис. 4. Годографи імпедансу системи  $\text{Li}_x\text{Mo}_2\text{S}_3/\text{ПК}$ , ДМЕ, 1M  $\text{LiClO}_4/\text{Li}_x\text{Mo}_2\text{S}_3$  в залежності від  $T$  К: а) 1 – 298, 2 – 307, 3 – 319, 4 – 332; вставка – збільшений масштаб; б) 5 – 273

Імпеданс СРЕ визначається двома параметрами  $\text{CPE}_P$  та  $\text{CPE}_T$  (1):

$$Z_{\text{CPE}} = \text{CPE}_T \cdot (\gamma \cdot \omega)^{-\text{CPE}_P}. \quad (1)$$

Параметр  $\text{CPE}_P=n$  – коефіцієнт фрактальністі поверхні, який встановлює тип частотного розподілу параметрів  $C$ ,  $W$ ,  $R$ . Він моделює ідеальний або деформований дифузійний імпеданс при  $n=0,5 \pm \epsilon$ ; чистий або спотворений резистор при  $n=0 \pm \epsilon$ ; псевдоємність при  $n=0,5-1,0$ . Параметр  $\text{CPE}_T$  – псевдоємність.

Елемент імпедансу Варбурга визначається як (2):

$$Z_W = W_R \frac{(\text{cth} \cdot \gamma \cdot \omega)^{W_p}}{(\gamma \cdot W_T \cdot \omega)^{W_p}}, \quad (2)$$

де  $\gamma=\sqrt{-1}$ ,  $\omega$  – кругова частота;  $W_R$  – омічний опір;  $W_T=l^2/D_{\text{Li}}$ ,  $l$  – дифузійна довжина;  $W_p=n$  – коефіцієнт фрактальністі поверхні,  $D_{\text{Li}}$  – коефіцієнт дифузії іонів літію.

При аналізі виявлено, що зміна визначених 9 параметрів годографів імпедансу при підвищенні температури від 298 до 323 К відбувається відмінно від закономірності, яка виявлена при зниженні температури в температурному перебігу від 298 до 273 К (рис. 5).

Простережується така закономірність за даними рис. 5. Параметри  $\text{CPE}_{1T}$ ,  $\text{CPE}_{2T}$ ,  $W_T$ ,  $\text{CPE}_{1P}$ ,  $\text{CPE}_{2P}$ ,  $W_p$  мало змінюються з температурою в межах температур від 298 до 307 К. Ек-

стремальні зміни параметрів спостерігаються при охолодженні (273 K) та при нагріванні, починаючи з температури 319 K (рис. 5,б; рис. 5,в). В значеннях параметрів омічного опору (рис. 5,а) спостерігається різкий перебіг при охолодженні від 298 до 273 K.

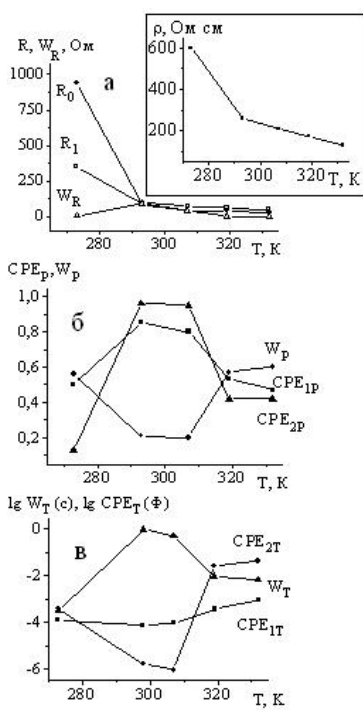


Рис. 5. Залежність параметрів еквівалентної електричної схеми від температури (T, K) для годографів імпедансу системи Li<sub>x</sub>Mo<sub>2</sub>S<sub>3</sub>/ПК, ДМЕ, 1M LiClO<sub>4</sub>/Li<sub>x</sub>Mo<sub>2</sub>S<sub>3</sub>

Розглянуто більш детально характер зміни за температурою окремих параметрів.

При підвищенні температури від 298 до 323 K параметр R<sub>0</sub> (омічний опір електроліту) знижується з похилом ( $\Delta R_0 / \Delta T = 1,3 \text{ Ом}\cdot\text{см}^2\cdot\text{K}^{-1}$ ), тоді як при охолодженні від 298 до 273 K він підвищується більш стрімко з похилом ( $\Delta R_0 / \Delta T = 10,2 \text{ Ом}\cdot\text{см}^2\cdot\text{K}^{-1}$ ) (рис. 5,а). Залежність R<sub>0</sub> від температури корелює з температурною залежністю опору електроліту ПК, ДМЕ, 1 M LiClO<sub>4</sub> в вільному просторі (рис. 5,а – вставка).

Ареніусівська залежність провідності R<sub>0</sub> від температури спостерігається в межах температури 298–332 K і порушується при температурі 273 K. Це свідчить про зміну механізмів процесу подолання опору R<sub>0</sub> в означених температурних інтервалах. Результати показують помітне значення провідності електроліту в визначені омічної складової годографу імпедансу при низькій температурі, що погоджується з літературними даними імпедансних досліджень електродів включення при низьких температурах.

Відомо, що в аprotонному розчині літієвої солі електродні та конструкційні матеріали літієвого акумулятора вкриваються поверхневою плівкою (SEI) в результаті взаємодії їх з електролітом [10]. Про наявність плівки може свідчити дуга або півколо в високочастотній ділянці годографу імпедансу. Проте вони виявляються не завжди, зокрема, не визначаються візуально, якщо маскуються середньочастотною ділянкою годографу імпедансу. Саме такий випадок спостерігається в годографі імпедансу Li<sub>x</sub>Mo<sub>2</sub>S<sub>3</sub>/електроліт (ПК, ДМЕ, 1M LiClO<sub>4</sub>)/Li<sub>x</sub>Mo<sub>2</sub>S<sub>3</sub>, де налічується одне спотворене півколо в високо-, середньочастотній ділянці. Тому елемент еквівалентної електричної схеми R<sub>1</sub>/CPE<sub>1</sub> можна надати як опір перенесення зарядів R<sub>1</sub> (електроліт/поверхнева плівка/Mo<sub>2</sub>S<sub>3</sub>), зашунтований елементом постійної фази CPE<sub>1</sub>, що враховує неоднорідність ємності, обумовлену фарадієвським процесом і геометричною поверхнею.

Характер температурної залежності опору R<sub>1</sub> є аналогічним характеру залежності R<sub>0</sub>–T та ρ–T (рис. 5,а). Проте зростання R<sub>1</sub> при охолодженні від 298 до 273 K виявляється більш значним, ніж зростання R<sub>0</sub>.

Синтезований електролітично тонкошаровий сульфід Mo<sub>2</sub>S<sub>3</sub> не є суцільним шаром. Він характеризується структурою, яка складається з агломератів мікрометрового рівня, утворених з нанометрових частинок. Поруватий простір між частинками заповнено електролітом. Тому опір перенесення зарядів R<sub>1</sub> у даному випадку можна вважати ефективною величиною, яка є певною мірою функцією міграції зарядів в електроліті поруватого простору Li<sub>x</sub>Mo<sub>2</sub>S<sub>3</sub>, електронної провідності Li<sub>x</sub>Mo<sub>2</sub>S<sub>3</sub> та контактного оміч-

**Параметри еквівалентної схеми – аналога годографа імпедансу Li<sub>x</sub>Mo<sub>2</sub>S<sub>3</sub>/електроліт (ПК, ДМЕ, 1M LiClO<sub>4</sub>)/ Li<sub>x</sub>Mo<sub>2</sub>S<sub>3</sub> в залежності від температури**

T, K	R <sub>0</sub> , Ω	R <sub>1</sub> , Ω	CPE <sub>1T</sub> , Φ	CPE <sub>1P</sub> , Φ	W <sub>R</sub> , Ω	W <sub>T</sub> , сек	W <sub>P</sub>	CPE <sub>2T</sub> , Φ	CPE <sub>2P</sub> , Φ
273	350,31	940,60	1,22·10 <sup>-4</sup>	0,55	5,98	3,18·10 <sup>-4</sup>	0,56	3,88·10 <sup>-4</sup>	0,13
298	95,79	83,61	7,37·10 <sup>-5</sup>	0,85	94,64	0,91	0,21	1,60·10 <sup>-6</sup>	0,96
307	70,57	38,24	9,15·10 <sup>-5</sup>	0,80	44,75	0,49	0,20	8,68·10 <sup>-7</sup>	0,95
319	61,71	41,66	0,36·10 <sup>-3</sup>	0,57	1,41	0,93·10 <sup>-2</sup>	0,57	0,025	0,42
332	50,43	25,99	0,93·10 <sup>-3</sup>	0,47	0,53	0,65·10 <sup>-2</sup>	0,60	0,042	0,42

ного опору між частинками  $\text{Li}_x\text{Mo}_2\text{S}_3$  в числі інших факторів.

В такому разі підвищення опору перенесення зарядів  $R_i$  при охолодженні досліджуваної системи (273 К) пов'язане з низкою факторів. Певною мірою значення  $R_i$  залежить від міграції зарядів в поруватому просторі електроліту. В підтримку температурного ефекту електронної провідності  $\text{Li}_x\text{Mo}_2\text{S}_3$  на значення  $R_i$  свідчать літературні дані, згідно з якими електропровідність сульфіду  $\text{Mo}_2\text{S}_3$  є температурозалежною. Вона знижується від  $10^{-3}$  до  $10^{-5} \text{ С}\cdot\text{см}^{-1}$  при охолодженні від 373 до 273 К [9]. Контактний опір між частинками активного матеріалу електродної матриці, а також частинками і струмовим колектором також зростає із зниженням електронної провідності матеріалу при охолодженні.

Варто паралельно простежити зміну коефіцієнту фрактальної розмірності з температурою. Спостерігається однотипність профілей залежності  $\text{CPE}_{1P}$  та  $\text{CPE}_{2P}$  від температури (рис. 5,б). Згідно з кривими залежності  $\text{CPE}_{1P}$  та  $\text{CPE}_{2P}$  від температури тип контролю електродного процесу взаємодії  $\text{Li}_x\text{Mo}_2\text{S}_3$  з літієм при нагріві в межах температури 273–332 К змінюється неодноразово. Стабільність параметрів спостерігається лише при температурах 298, 307 К.

На рис. 5, в параметри псевдоемності  $\text{CPE}_{1T}$  та  $\text{CPE}_{2T}$  змінюються зі зміною температури за однаковою закономірністю.  $\text{CPE}_{2T}$  – псевдоемність області просторового заряду в шарі  $\text{Li}_x\text{Mo}_2\text{S}_3$  та геометричної ємності цього шару.

Визначену розбіжність в типах контролю можна пояснити стабільністю електродного процесу в температурному перебігу (298, 307 К) та пошкодженням його за межами цих температур. При нагріві посилюється активність  $\text{Li}_x\text{Mo}_2\text{S}_3$  в окисненні електроліту, в підтримання чого свідчить поява газових бульбашок в електроліті при температурі 332 К. Відома також хімічна нестійкість сульфіду  $\text{Mo}_2\text{S}_3$ . Вона підвищується із температурою. Означена нестабільність електродного процесу супроводжується перебудовою поверхневої морфології та можливими змінами в структурі  $\text{Mo}_2\text{S}_3$  та поверхневої плівки. Про це свідчить зростання псевдоемності  $\text{CPE}_{1T}$  майже на порядок та більш значне зростання  $\text{CPE}_{2T}$  при перебізі температури від 307 до 332 К (рис. 5,в). Визначене зростання можна пов'язати зі зниженням гомогенності морфології поверхні за рахунок розчинення плівки, зниженням товщини поверхневої плівки на  $\text{Li}_x\text{Mo}_2\text{S}_3$ .

Про зміну товщини плівки можуть свідчити дані залежності  $W_T$  від температури (рис. 5,в). Коли  $\text{CPE}_{1T}$  зменшується, а  $\text{CPE}_{1P}$  підвищується в температурному інтервалі 319–332 К, припускається перебудова поруватої структури плівки

на компактну. Коли опір плівки зростає, а  $\text{CPE}_{1T}$  майже не змінюється (273–298 К), можливе зростання товщини плівки.

При зниженні температури від 298 до 273 К визначальними параметрами перетворення в досліджуваній системі стає омічний опір – опір перенесення зарядів через розділ електроліт/електрод, пов'язаний з опором перенесення зарядів через поверхні розділу фаз електроліт/поверхнева плівка та поверхнева плівка/ $\text{Li}_x\text{Mo}_2\text{S}_3$ /струмовий колектор, з опором міграції зарядів в електроліті поруватого простору сульфідної матриці, опором перенесення електронів в твердотільній матриці, з контактним опором між частинками твердотільної матриці.

Зміна типу контролю електродного процесу  $\text{Li}_x\text{Mo}_2\text{S}_3$  в контакті з електролітом за температурою простежується явно за трансформацією годографа імпедансу системи при перебігу температури від 332 до 273 К. Дугоподібна ділянка годографа імпедансу зростає, та змінюється інтервал частот ( $v$ ), при яких спостерігається лінійна ділянка з кутом нахиlu  $45^\circ$ , яка характеризує імпеданс Варбурга (табл. 2).

Таблиця 2  
Температурний здвиг частотних характеристик в годографах імпедансу досліджуваної системи

T, K	Частота (v, Гц) max півколо	Частота (v, Гц) точки перетину півколо з лінійною ділянкою	Інтервал частот (v, Гц) області імпедансу Варбурга
273	1,6	0,1	–
298	63	2,5	0,16–0,06
307	158	6,3	1,6–0,6
319	250	15,8	–
332	400	25	–

Низько- та високо-температурна нестійкість електролітично отриманого сульфіду  $\text{Li}_x\text{Mo}_2\text{S}_3$  в контакті з електролітом ПК, ДМЕ, 1 M  $\text{LiClO}_4$  викликана граничними якостями перенесення зарядів в електроліті, в твердій матриці, зниженням кінетики перенесення зарядів через поверхню розділу фаз.

Температурні ефекти визначено в  $\text{Mo}_2\text{S}_3$ -електроді в контакті з електролітом. Становить інтерес визначити їх також в акумуляторі  $\text{Mo}_2\text{S}_3/\text{Li}$ . Ми помітили схожі закономірності при температурних змінах в поведінці окремого електрода в даній роботі та в літій-іонній системі в роботі [13]. Ключовою температурою в літій-іонній системі, коли деградація системи мінімальна, є 298 К. При охолодженні та нагріванні деградаційні процеси підсилюються та нарощуються відносно таких при ключовій температурі.

На підставі отриманих результатів можна

розраховувати на ефективне перетворення  $\text{Mo}_2\text{S}_3$  в літієвому акумуляторі з електролітом ПК, ДМЕ, 1 М  $\text{LiClO}_4$  лише в інтервалі температур 298–307 К. Визначений температурний інтервал може звузитися в літієвому акумуляторі, як в літій-іонній системі [13].

#### Висновки

Визначено 9 параметрів еквівалентної електричної схеми годографів імпедансу електролітично одержаного та розрядженого в літієвому акумуляторі сульфіду  $\text{Mo}_2\text{S}_3$  в контакті з електролітом ПК, ДМЕ, 1 М  $\text{LiClO}_4$  в температурному інтервалі 273–332 К. Виконано аналіз визначених параметрів, які відображають характеристики окремих стадій електродного процесу, пов’язаних з подоланням енергії перенесення зарядів та маси, а також з імпедансною поведінкою, викликаною фрактальністю поверхневої структури, в залежності від температури. Передбачається, що забезпечення ефективного перетворення  $\text{Li}_x\text{Mo}_2\text{S}_3$  в літієвому акумуляторі з електролітом 1 М  $\text{LiClO}_4$ , ПК, ДМЕ може бути гарантовано при температурах 298–307 К. Низькотемпературний ефект імпедансу електрода  $\text{Li}_x\text{Mo}_2\text{S}_3$  в контакті з електролітом ПК, ДМЕ, 1 М  $\text{LiClO}_4$  визначається найбільшою мірою підвищеннем опору перенесення зарядів ( $R_i$ ). Певне значення при зниженні температури до 273 К мають зниження провідності електроліту в порутому просторі  $\text{Li}_x\text{Mo}_2\text{S}_3$  та електронної провідності активної речовини. При температурах 319 К та вище порушується стійкість електроліту ПК, ДМЕ, 1 М  $\text{LiClO}_4$  в контакті з  $\text{Li}_x\text{Mo}_2\text{S}_3$ . Для підвищення кулонівської ефективності перетворення мікроакумулятора  $\text{Li}_x\text{Mo}_2\text{S}_3/\text{Li}$  в широкому температурному інтервалі необхідно оптимізувати склад електроліту додаванням домішок в електроліт або підібранням придатних артотонних розчинників і літієвої солі. Для зменшення опору перенесення зарядів при зниженні температури можна рекомендувати модифікування поверхні сульфіду  $\text{Mo}_2\text{S}_3$  за методом електролітичного співосадження сульфідів перехідних металів із графітом [11,12].

#### СПИСОК ЛІТЕРАТУРИ

1. Fabrication of  $\text{MoS}_2$ -Graphene nanocomposites by layer-by-layer manipulation for high-performance lithium ion battery anodes / Hu Yuhai, Xifei Li, Lushington Andrew, Cai Mei, Geng Dongsheng, Norouzi Banis Mohammad, Li Ruying, Sun Xueliang // J. Solid State Sci. and Technol. – 2013. – Vol.2. – № 10. – P.M3034-M3039.
2. Composite Films of Electrolytic Fe,Ni,Co,Mo-Sulfides and  $\text{MnO}_2$  Dioxide with Carbon Nanotubes in Redox Reaction with Lithium / Apostolova R.D., Pescov R.P., Kolomoyets O.V., Kirsanova I.V., Shembel E.M. // Phys. and Technol. of Thin Films and Nanosystems: abstract XIV Intern. Conf. (Ivano-Frankivsk, Ukraine, May 20-25, 2013). – Ivano-Frankivsk, Ukraine, 2013. – P.509.
3. Нагирный В.М., Апостолова Р.Д., Шембель Е.М. Синтез и электрохимические характеристики электролитических металл-оксидных и металл-сульфидных соединений для литиевых аккумуляторных систем. – УГХТУ, Днепропетровск, 2008. – 260 с.
4. Тонкослойные электролитические окиссульфиды молибдена для катодов литиевых аккумуляторов / Шембель Е.М., Апостолова Р.Д., Тысячный В.П., Кирсанова И.В. // Электрохимия. – 2005. – Т.41. – № 12. – С.1465-1475.
5. Electrolytic molybdenum sulfides for thin-layer lithium power sources / E. Shembel, R. Apostolova, I. Kirsanova, V. Tysachny // J. Solid State Electrochem. – 2007. – Vol.12. – № 9. – P.1155-1157.
6. Визначальна стадія реакції інтеркаляції іонів літію в електролітичний окиссульфід молібдену / І.В. Кірсанова, Р.Д. Апостолова, В.П. Тилячний, О.М. Шембель // Вопр. хімии и хим. технології. – 2006. – № 6. – С.167-169.
7. Apostolova R.D., Kirsanova I.V., Shembel O.M. Імпедансна спектроскопія в дослідженні електролітичних оксидно-сульфідних сполук у літієвих акумуляторах // Вопр. хімии и хим. технології. – 2005. – № 2. – С.176-180.
8. Электрохимический импеданс З.Б. Стойнов, Б.М. Графов, Б. Савова-Стойнова, В.В. Елкин. – М.: Наука, 1991. – 331 с.
9. Перов Э.П., Мощенская Н.В. Термоокислительные и электрофизические свойства нестехиометрических халько-генидов молибдена и вольфрама // Известия Алтайского гос. университета. – 2002. – № 25(3). – С.33-36.
10. Peled E. The electrochemical behavior of alkali and alkaline earth metals in Nonaqueous battery systems – the solid electrolyte interphase model // J. Electrochem. Soc. – 1979. – Vol.126. – № 12. – P.2047-2051.
11. Apostolova R.D., Коломоєць О.В., Шембель Е.М. Електролітические композиты сульфидов железа с графитом в макетном литиевом аккумуляторе // Журн. прикл. хим. – 2001. – Т.84. – Вып.4. – С.571-577.
12. Apostolova R.D., Kolomoets O.V., Shembel' E.M. Optimization of iron silfides usage in electrolytic composites with graphites for lithium-ion batteries // Surface Engineering and Appl. Electrochem. – 2011. – Vol.47. – № 5. – P.465-470.
13. Temperature dependence ageing mechanisms in lithium-ion battery – A Post Morten study / Waldmann Thomas, Wilka Marcel, Kasper Michael, Fleischhammer Meike, Wohlfahrt-Mehrens Marget // J. Power Sources. – 2014. – Vol.262. – P.129-135.

Надійшла до редакції 07.09.2015

**TEMPERATURE EFFECTS IN  $\text{Mo}_2\text{S}_3$ -ELECTRODE/ELECTROLYTE SYSTEM OF LITHIUM ACCUMULATOR INVESTIGATED BY ELECTROCHEMICAL IMPEDANCE SPECTROSCOPY**

**I.V. Kirsanova, R.D. Apostolova**

Ukrainian State University of Chemical Technology,  
Dnepropetrovsk, Ukraine

The influence of temperature on the impedance spectra of electrodeposited  $\text{Mo}_2\text{S}_3$  on aluminium, which was discharged in Li accumulator in contact with an electrolyte, has been analyzed in this work. The changes of such parameters as ohmic resistance ( $R$ ), diffusion impedance ( $W$ ), and constant phase element (CPE) were evaluated and discussed, those parameters determining the energy of the charge and mass transfer. The impedance behaviour related with the fractality of the electrode surface has been determined as a temperature function. It has been established that ensuring an effective transformation of  $\text{Mo}_2\text{S}_3$  in lithium accumulator containing 1 M  $\text{LiClO}_4$ , PC, and DME as electrolyte may be provided at the temperatures of 298 to 307 K.

**Keywords:** electrolytic  $\text{Mo}_2\text{S}_3$ ; lithium accumulator; impedance spectra; conductivity; charge transfer; temperature.

**REFERENCES**

1. Hu Yuhai, Li Xifei, Lushington Andrew, Cai Mei, Geng Dongsheng, Norouzi Banis Mohammad, Li Ruying, Sun Xueliang. Fabrication of  $\text{MoS}_2$ -graphene nanocomposites by layer-by-layer manipulation for high-performance lithium ion battery anodes. *Journal of Solid State Science and Technology*, 2013, vol. 2, no. 10, pp. M3034-M3039.
2. Apostolova R.D., Pescov R.P., Kolomoyets O.V., Kirsanova I.V., Shembel E.M., Composite films of electrolytic Fe, Ni, Co, Mo-sulfides and  $\text{MnO}_2$  dioxide with carbon nanotubes in redox reaction with lithium. *Abstract of the XIV International Conference Physics and Technology of Thin Films and Nanosystems*. Ukraine, Ivano-Frankiv'sk, 2013, p. 509.
3. Nagirniy V., Apostolova R., Shembel E., *Sintez i elektrokhimicheskiye kharakteristiki elektroliticheskikh metal-oksidnykh i metal-sulfidnykh soiedinenii dlja litiievykh akumulatornykh system* [Synthesis and electrochemical characteristics of electrodeposited metal-oxides and metal-sulfides compounds for lithium accumulators]. USCTU Publishers, Dnepropetrovsk, 2008. 260 p.
4. Shembel E.M., Apostolova R.D., Tysyachny V.P., Kirsanova I.V. Tonkosloinye elektroliticheskiye oksisulfidy molibdena dlja katodov litiievykh akkumulyatorov [Thin films of electrodeposited oxy-sulfides of molybdenum for the cathodes of lithium accumulators]. *Elektrokhimiya*, 2005, vol. 41, no. 12, pp. 1465-1475. (in Russian).
5. Shembel E.M., Apostolova R.D., Kirsanova I.V., Tysyachny V.P. Electrolytic molybdenum sulfides for thin-layer lithium power sources. *Journal of Solid State Electrochemistry*, 2007, vol. 12, no. 9, pp. 1155-1157.
6. Kirsanova I.V., Apostolova R.D., Tysyachny V.P., Shembel E.M. Viznachalna stadiya reaktsii interkalatsii ionov litiu v elektrolytichnih sulfidakh molibdenu [Rate determining stage of intercalation of lithium ions in electrodeposited molybdenum sulfides]. *Voprosy khimii i khimicheskoi tekhnologii*, 2006, vol. 6, pp. 167-169. (in Ukrainian).
7. Shembel E.M., Apostolova R.D., Kirsanova I.V., Shembel E.M. Impedansna spectroskopiya v doslidzhenni elektrolytichnykh oksidno-sulfidnykh spoluk v litiievykh akumulyatorakh [Electrochemical impedance spectroscopy for investigation of electrodeposited oxy-sulfides compounds in lithium accumulators]. *Voprosy khimii i khimicheskoi tekhnologii*, 2005, vol. 2, pp. 176-180. (in Ukrainian).
8. Stoynov Z.B., Grafov B.M., Savova-Stoynova B., Yelkin V.V., *Elektrokhimicheskii impedans* [Electrochemical impedance]. Nauka, Moscow, 1991. 331 p. (in Russian).
9. Perov E.P., Moschenkaya N.V. Termookislitelniye i electrofizicheskiye svoystva nestehiometricheskikh khalkogenidov molibdena i volframa [Thermo-oxidative and electro-physical properties of non-stoichiometric chalcogenides of molybdenum and wolfram]. *Izvestiya Altayskogo Gosudarstvennogo Universiteta*, 2002, no. 25 (3), pp. 33-36. (in Russian).
10. Peled E. The electrochemical behavior of alkali and alkaline earth metals in nonaqueous battery systems – the solid electrolyte interphase model. *Journal of the Electrochemical Society*, 1979, vol. 126, no. 12, pp. 2047-2051.
11. Apostolova R.D., Shembel E.M., Kolomoyets O.V. Electrolytic compositions of iron sulfides with graphite in lithium model accumulator. *Russian Journal of Applied Chemistry*, 2001, vol. 84, no. 4, pp. 571-577.
12. Apostolova R.D., Kolomoets O.V., Shembel' E.M. Optimization of iron sulfides usage in electrolytic composites with graphites for lithium-ion batteries. *Surface Engineering and Applied Electrochemistry*, 2011, vol. 47, no. 5, pp. 465-470.
13. Waldmann T., Wilka M., Kasper M., Fleischhammer M., Wohlfahrt-Mehrens M. Temperature dependence ageing mechanisms in lithium-ion battery – a post mortem study. *Journal of Power Sources*, 2014, vol. 262, pp. 129-135.